

ОСОБЛИВОСТІ ДОСЛІДЖЕННЯ СТАНУ ЕЛЕКТРОМЕХАНІЧНОЇ СИСТЕМИ КАНТУВАЧА

Борисенко В.П., Сидоров В.А., Мельник А.А.
Донецький національний технічний університет
Office@mail.ru

Проблема та її зв'язок з науковими та практичними задачами. Протягом останніх п'яти – семи років, коли активно почали виробляти сортамент “коло 80”, з'явилися проблеми, пов'язані із різким збільшенням числа вмикань приводного двигуна кантувача лінії “900” ЗАТ „ММЗ „ІСТИЛ”” (рис. 1). Число вмикань досягало 800–1000, що в кілька разів перевищувало допустиму норму для двигунів краново-металургійної серії МТКФ (МТКН).

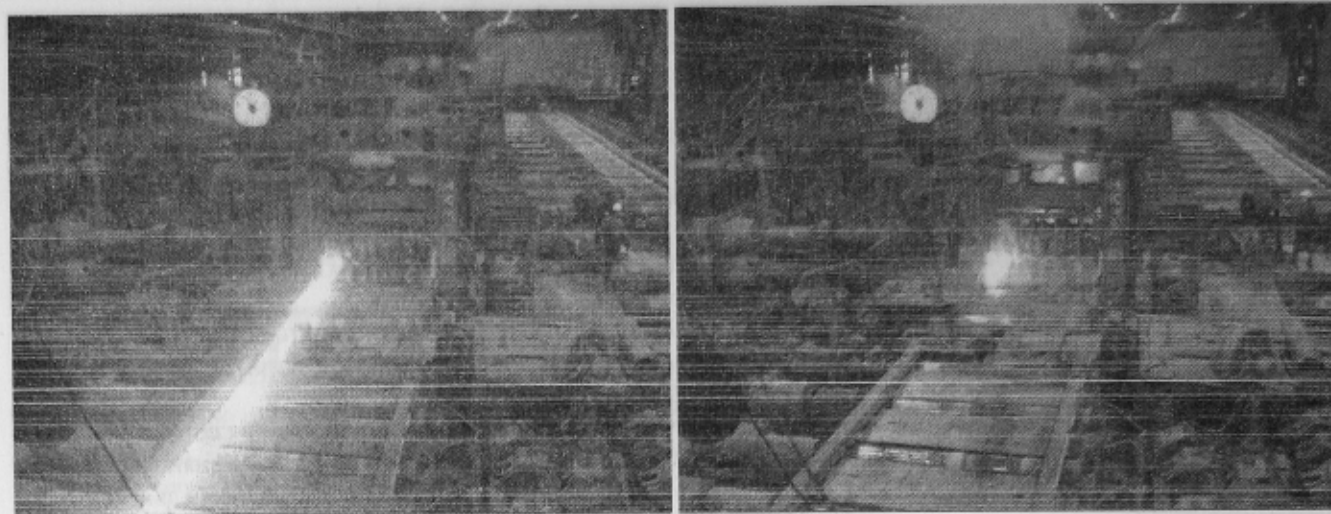


Рисунок 1 – Фрагменти відеозапису технологічного циклу – прийом та видача сортаменту з калібратором

Термін експлуатації такого двигуна не перевищує 1,5 місяці. Причому вихід двигуна із ладу можливий під час технологічного процесу прокатки, а це веде до зупинки усіх ланок технологічного ланцюга. Час, який потрібен на заміну зіпсованого двигуна, може дорівнювати двом – двом з половиною годинам.

Очевидно, що виникає потреба дослідити реальне завантаження двигуна у різні періоди року, та мати можливість враховувати вплив температури навколошнього середовища. З другого боку, оцінці підлягає діюча система електроприводу та можливість її заміни на більш універсальну, яка б забезпечила нормальнє функціонування електромеханічної системи кантувача при різних видах сортаменту.

Аналіз досліджень та публікацій. Запис навантаження приводного двигуна кантувача дає можливість уточнити режим двигуна і характеризувати його як повітровховий, коли включення необхідно, щоб підняти прокат у калібр при великій довжині розкату; багаторазове включення двигуна призводить до його інтенсивного нагріву та перегріву.

Постановка задачі. З метою раціонального вибору часу заміни двигуна треба розробити методику розрахунку найбільш нагрітої частини машини та мати змогу перевірити його температуру одним із відомих засобів.

Викладення матеріалу і результати. Спрощена електромеханічна система приведена на рис. 2.

Момент опору кантувача є функцією вугла повороту виконавчого органу, включення кантувального пристрою можливе при різних початкових значеннях моменту опору $M_{C1}(\phi)$ рис.3. В виходячи з цього, можливо констатувати, що темп розгону і час відпрашування потрібного переміщення будуть різними. Характер навантаження двигуна при декількох послідовних включеннях зображенено на вигляд, рис. 4.

Для оцінки теплового стану двигуна були використані наступні методики: а) розрахунок температури двигуна за допомогою теплових схем заміщення [1], б) вимірювання температури двигуна за допомогою пірометра та термоконтактних давачів.

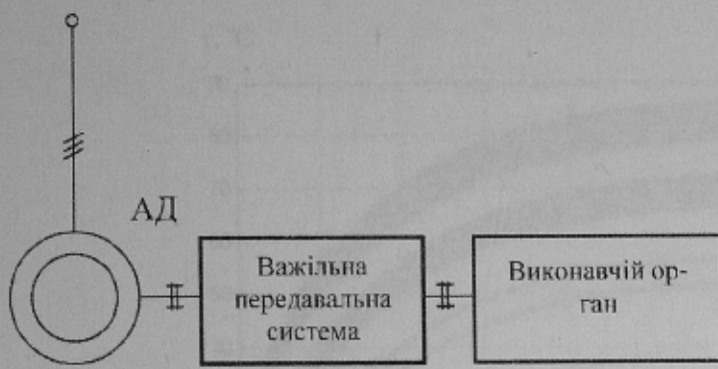


Рисунок 2 – Електромеханічна система кантувача

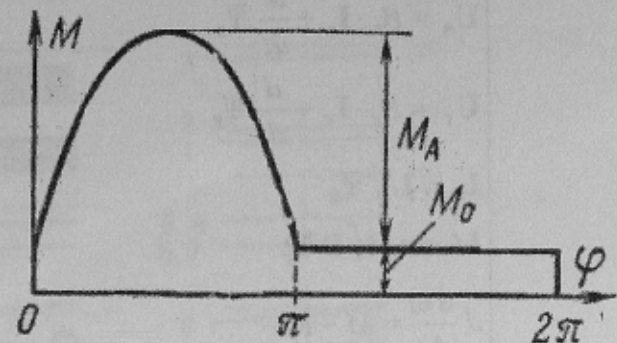


Рисунок 3 – Механічна характеристика крилошипного механізму

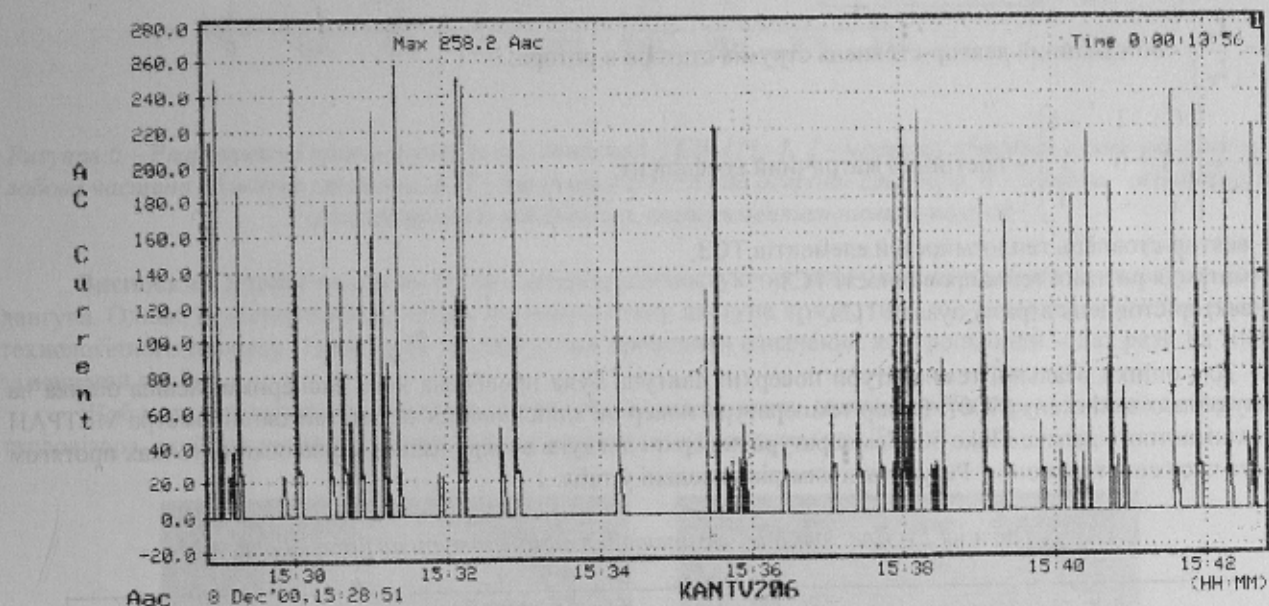


Рисунок 4 – Залежність струму статора $I_s(t)$ двигуна кантувача (участок реконограми)

Теплова схема заміщення для прийнятого числа розрахункових тіл може бути представлена рис. 5.

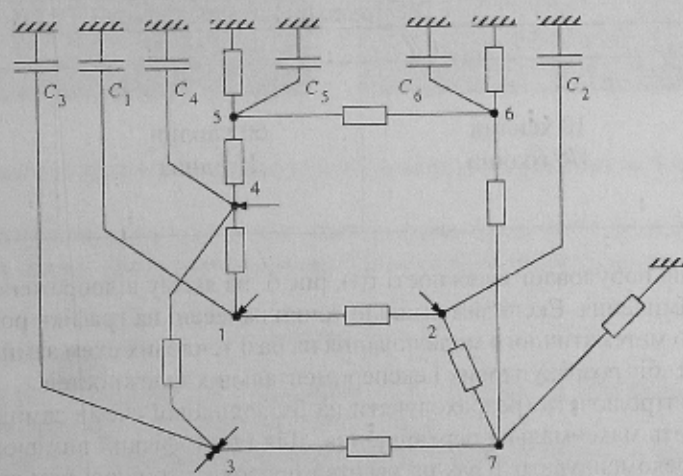


Рисунок 5 – Теплова схема заміщення приводного двигуна кантувача

Система рівнянь, яка дає змогу розрахувати температуру фіксованого тіла теплової схеми заміщення, опису поведінки асинхронного двигуна з урахуванням електромагнітних процесів [2,3] має вигляд:

$$\mathbf{U}_s = R_s \cdot \mathbf{I}_s + \frac{d}{dt} \Psi_s$$

$$\mathbf{U}_r = R_r \cdot \mathbf{I}_r + \frac{d}{dt} \Psi_r$$

$$\mathbf{I}_0 = \mathbf{L}_0^{-1} \Psi_0$$

$$M = z_p \mathbf{I}_r^T \mathbf{D} \Psi_r$$

$$J \frac{d\omega}{dt} = M - M_C$$

$$\mathbf{C} \frac{d\Theta}{dt} = \Lambda \Theta - \mathbf{P}$$

де $\Psi_0 = \begin{bmatrix} \Psi_s \\ \Psi_r \end{bmatrix}$ - об'єднаний вектор-стовпець потокозчеплень статора і ротора;

$\mathbf{I}_0 = \begin{bmatrix} \mathbf{I}_s \\ \mathbf{I}_r \end{bmatrix}$ - об'єднаний вектор-стовпець струмів статора и ротора;

$\mathbf{D} = \frac{1}{\sqrt{3}} \begin{bmatrix} 0 & 1 & -1 \\ -1 & 0 & 1 \\ 1 & -1 & 0 \end{bmatrix}$ – постійний матричний коефіцієнт;

\mathbf{C} – вектор-стовпець теплоємностей елементів ТСЗ;

Λ – матриця питомої тепlopроводності ТСЗ;

\mathbf{P} – вектор-стовпець втрат у вузлах ТСЗ.

Для оцінки реальної температури поверхні двигуна була проведена його експериментальна оцінка на діючому обладнанні стану “900”. Вимір температури поверхні здійснювався за допомогою пірометра МЕТРАН і термоконтактного давача Fluke 50. Температура поверхні двигуна вимірювалась у фіксованих точках протягом обраного часу спостереження. Результати вимірювань наведені у табл. 1.

Таблиця 1 – Дослідні дані вимірювання температури на корпусі двигуна

№ точки	Корпус двигуна		
	1	2	3
Вимірювання термоконтактним давачем – термометр Fluke 50			
$\tau, ^\circ\text{C}$	50	70	75
Вимірювання пірометром МЕТРАН			
	55	75	78
Час виміру в хвилинах, годинах	10 хвилин 1/6 години	60 хвилин 1 година	3600 хвилин 8 годин

За результатами вимірювань побудовані залежності $t(t)$, рис.6, на якому відображені тепловий стан точок 1-8 згідно з теплою схемою заміщення. Експериментальні точки нанесені на графіки розрахункових залежностей $t(t)$, отриманих за допомогою математичного моделювання на базі теплових схем заміщення.

Слід зазначити добрий збіг розрахункових і експериментальних залежностей.

Найбільш доцільно контролювати (розраховувати на базі теплої схеми заміщення) температуру лобових частин обмоток, що мають максимальне перевищення. Для ідентифікації вимірюваних величин і тих, що розраховуються, необхідно рекомендувати 1 раз на квартал проводити теплові вимірювання. Цей захід повинен підтверджити ідентичність величин, що розраховуються, і дозволити ввести у модель початкові умови, що змінилися.

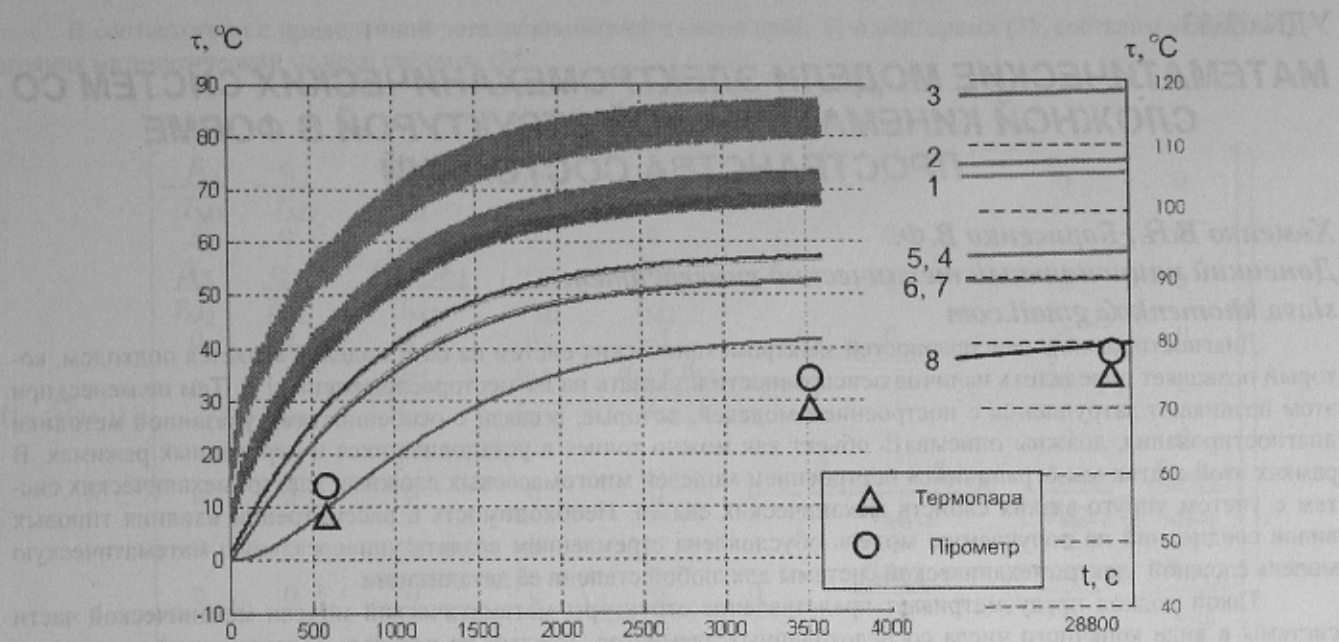


Рисунок 6 – Розрахункові криві нагріву вузлів двигуна МТКВ-411: 1, 2 – частини обмотки статора в пазах; 3 – лобова частина обмотки статора; 6, 7 – частини корпуса над осердям статора; 8 – кінцева частина корпусу (розрахункова із нанесеними експериментальними точками)

Висновки. Останнє вказує на те, що однією з діагностуючих величин повинна бути температура обмоток двигуна. Однак, безперервний контроль теплового стану двигуна призводить до ускладнення у плані реалізації технологічного процесу. Тому нами пропонується проводити означений контроль один – два рази на місяць у зазначений період.

Щоб мати оперативну можливість контролю теплового стану двигуна треба переходити до використання тепловізора, який дає реальну картину температурних полів двигуна (рис. 7).

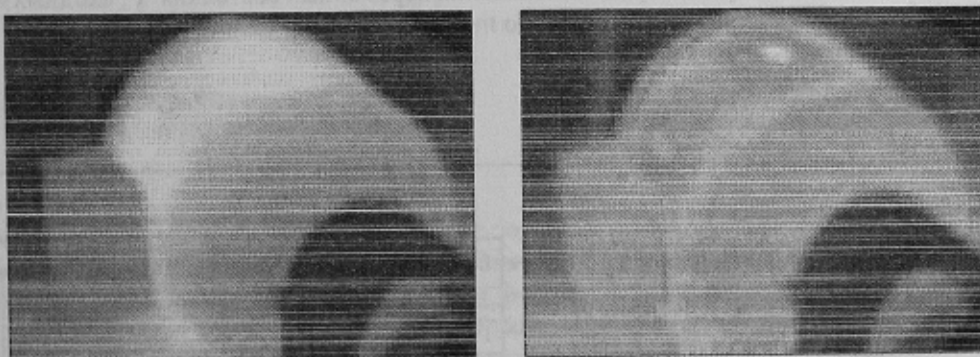


Рисунок 7 – Загальний вид картини теплового поля двигуна, одержаний за допомогою тепловізора

Маючи реальні розрахункові криві $t(t)$ та дані тепловізорного контролю можливо реалізувати упереджену зупинку ЕМС кантувача та заміну приводного двигуна. Ця методика може бути розповсюджена на інші подібні виробничі механізми.

ЛІТЕРАТУРА

1. Бурковский А.Н., Ковалев Е.Б., Коробов В.К. Нагрев и охлаждение электродвигателей во взрывонепроницаемом исполнении. – М.: Энергия, 1970. –198 с.
2. Иванов-Смоленский А.В. Электрические машины: Учебник для вузов. – М.:Энергия, 1980. – 928 с., ил.
3. Шрейнер Р.Т. Математическое моделирование электроприводов переменного тока с полупроводниковоыми преобразователями частоты. – Екатеринбург: УРО РАН, 2000. – 654с.